# 横　断　図

S=1:50

## P.18.6

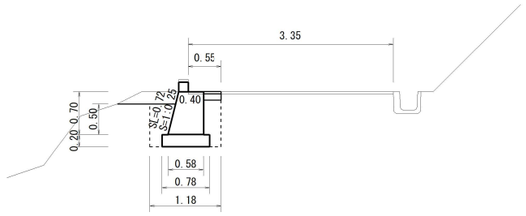


床掘　：0.9
掘削　：--
埋戻（転圧有）：0.2
路床盛土（BV3）：0.2
路体盛土（BV7）：0.0

## P.15.6

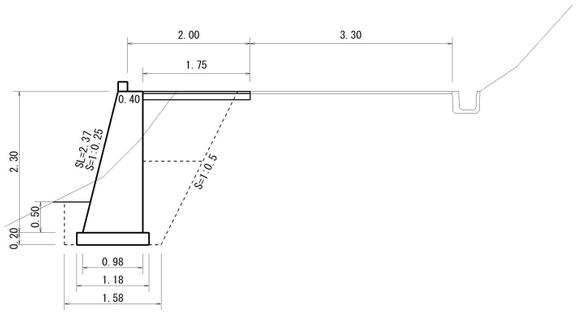


床掘　：3.1
掘削　：--
埋戻（転圧有）：0.2
路床盛土（BV3）：1.1
路体盛土（BV7）：0.7

## P.7.6

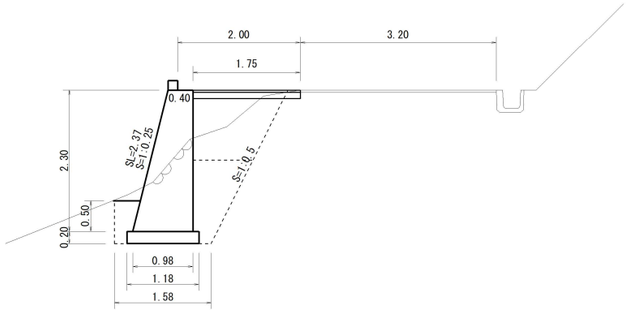


床掘　：2.6
掘削　：--
埋戻（転圧有）：0.2
路床盛土（BV3）：1.1
路体盛土（BV7）：0.7

## P.4.6(同断)

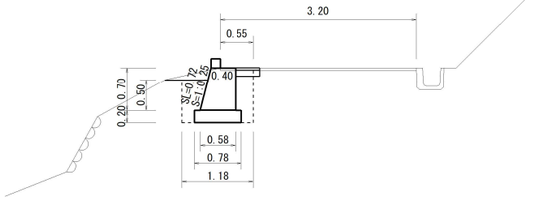


床掘　：0.8
掘削　：--
埋戻（転圧有）：0.2
路床盛土（BV3）：0.2
路体盛土（BV7）：0.0

## P.0.0～4.6

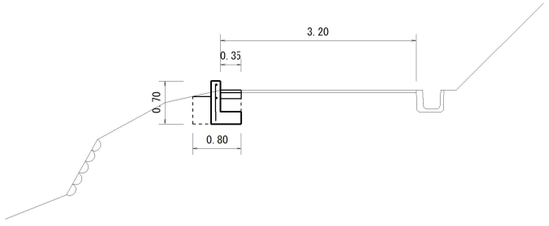


床掘　：0.4
掘削　：--
埋戻（転圧有）：0.2
路床盛土（BV3）：--
路体盛土（BV7）：--

# 詳　細　図

S=1:20

## 2号舗装止(H=700)

L=4.60m

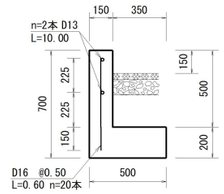


（10m当り）

| | | |
|---|---|---|
| コンクリート | 1.75 | m3 |
| 型　枠 | 12.00 | m2 |
| 鉄筋 D16 | 18.72 | kg |
| 鉄筋 D13 | 19.90 | kg |
| 止 型 枠 | 0.18 | m2 |
| 目 地 材 | 0.18 | m2 |

## 止 水 壁

L=15.20m

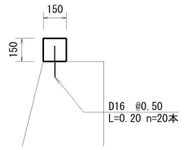


（10m当り）

| | | |
|---|---|---|
| コンクリート | 0.23 | m3 |
| 型　枠 | 3.00 | m2 |
| 鉄筋 D16 | 6.24 | kg |
| 削　孔 | 20 | 孔 |
| 止 型 枠 | 0.02 | m2 |
| 目 地 材 | 0.02 | m2 |

# 平　面　図

S=1:1000

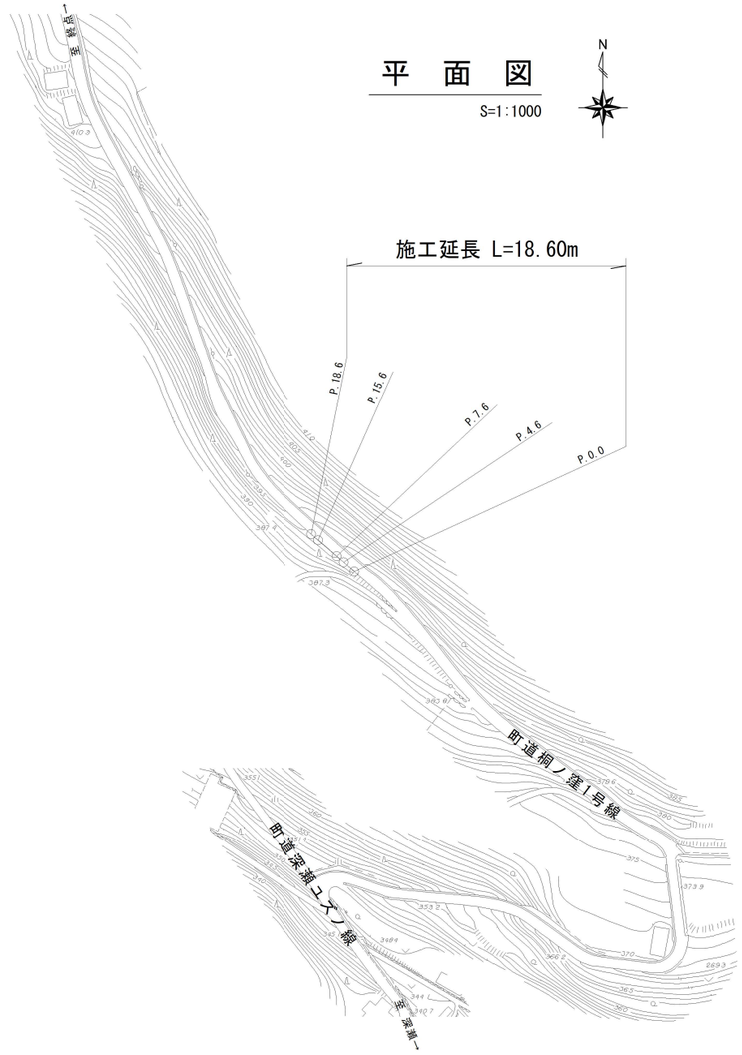


## 数量計算

### 土　工

| | | | | | |
|---|---|---|---|---|---|
| 床　　掘 | 14K | 0.4*4.6+(0.8+2.6)/2*3.00+(2.6+3.1)/2*8.00+(3.1+0.9)/2*3.00 | = | 35.74 | ≒ 36 m3 |
| 盛　　土 | BV3：路床 | (0.2+1.1)/2*3.00+1.1*8.00+(1.1+0.2)/2*3.00 | = | 12.70 | ≒ 13 m3 |
| 盛　　土 | BV7：路体・築堤 | 0.7/2*3.00+0.7*8.00+0.7/2*3.00 | = | 7.70 | ≒ 8 m3 |
| 埋　　戻 | B4D | 0.2*(4.60+3.00+8.00+3.00) | = | 3.72 | ≒ 4 m3 |
| 基面整正 | | 0.5*4.6+(0.6+1.0)/2*3.00+1.0*8.00+(1.0+0.6)/2*3.00 | = | 15.10 | ≒ 15 m3 |
| 残土処理 | L=2.0km | 35.74-(12.70+7.70+3.72)/0.9 | = | 8.94 | ≒ 9 m3 |
| As舗装版切断 | t=40 | 11.50 | = | 11.50 | ≒ 12 m |
| As舗装版破砕 | t=40 | 3.73 | = | 3.73 | ≒ 4 m2 |
| As殻運搬・処理 | L=7.5km | 3.73*0.04 | = | 0.15 | ≒ 0.2 m3 |

### 擁壁工

| | | | | | |
|---|---|---|---|---|---|
| 重力式擁壁 | 平均H=1.92m | 19.66 | = | 19.66 | ≒ 20 m3 |
| 止水壁 | 150*150 | 15.00 | = | 15.00 | ≒ 15 m |
| 2号舗装止 | H=700 | 5.00 | = | 5.00 | ≒ 5 m |

### 舗装工

| | | | | | |
|---|---|---|---|---|---|
| 路盤工 | RM-30、t=100 | 22.23 | = | 22.23 | ≒ 22 m2 |
| As舗装 | t=40、平均幅員w＜1.4m | 22.23 | = | 22.23 | ≒ 22 m2 |

# 実　施　図

| 高知県　越知町 | | | |
|---|---|---|---|
| 施工年度 | 令和7年度 | 工事番号 | 令7防安第32号 |
| 工事名 | 町道梼ノ窪1号線防災・安全対策交付金工事 | | |
| 図面名称 | 平面図・横断図・詳細図・数量計算 | | |
| 図面番号 | 1/2 | 縮尺 | 図　示 |
| 路線名 | 町道梼ノ窪1号線 | | |
| 工事場所 | 高知県高岡郡越知町　横畠北　(深瀬) | | |